

этом образование комплексов PV_2 должно сопровождаться освобождением дырки, если E_F расположен выше акцепторного уровня комплекса PV_2 и последний при этом заряжен отрицательно, т. е. $(PV)^0 + V^0 \rightleftharpoons (PV_2)^- + p^+$. Если же E_F расположен ниже уровня комплекса PV_2 , то он нейтрален и его образование происходит без изменения концентрации носителей заряда согласно реакции $(PV)^0 + V^0 \rightleftharpoons (PV_2)^0$. Наблюдаемое на опыте увеличение концентрации дырок при γ -облучении кристаллов, когда E_F изменяется в интервале от $E_v + 0.39$ до $E_v + 0.34$ эВ, свидетельствует в пользу того, что здесь действительно вводятся отрицательно заряженные комплексы (акцепторы) и освобождаются дырки. Из анализа ТЭКХ по дифференциальной методике [12] установлено, что этим РД, концентрация которых не превышает содержания фосфора в исследуемых кристаллах, в запрещенной зоне соответствует уровень $E_v + 0.35$ эВ. Отжиг комплексов фосфор—дивакансия происходит при $T = 400 - 500$ °C, что совпадает с интервалом температурной устойчивости подобных комплексов, формирующихся при термообработке n -Si, облученного сравнительно невысокими потоками γ -квантов ^{60}Co [10].

Л и т е р а т у р а

- [1] Емцев В. В., Машовец Т. В., Абдуллатаров А. Т. — ФТП, 1987, т. 21, в. 11, с. 2106—2109.
- [2] Двуреченский А. В., Кашников Б. П., Смирнов Л. С. — ФТП, 1980, т. 14, в. 5, с. 995—997.
- [3] Chen C. S., Corelli J. S., Watkins G. D. — Phys. Rev. B, 1972, v. 5, N 2, p. 510—526.
- [4] Hirata M., Hirata M., Saito H. — J. Phys. Soc. Japan, 1969, v. 27, N 2, p. 405—415.
- [5] Лугаков П. Ф., Лукьянница В. В., Шуша В. В. — ФТП, 1986, т. 20, в. 10, с. 1894—1897.
- [6] Лугаков П. Ф., Лукашевич Т. А. — ФТП, 1987, т. 21, в. 4, с. 746—748.
- [7] Конозенко И. Д., Семенюк А. К., Хилич В. И. Радиационные эффекты в кремнии. Киев, 1974. 199 с.
- [8] Lugakov P. F., Lukyanitsa V. V. — Phys. St. Sol. (a), 1984, v. 83, N 2, p. 521—528.
- [9] Flicker H., Patterson W. R. — Appl. Phys., 1966, v. 37, N 13, p. 4998—4999.
- [10] Казакевич Л. А., Лугаков П. Ф., Лукьянница В. В., Филиппов И. М. — Ст. деп. в ВИНИТИ АН СССР. М., 1987. № 6859-В87.
- [11] Watkins G. D., Troxell J. R. — Phys. Rev. Lett., 1980, v. 44, N 9, p. 593—595.
- [12] Hoffman H. J. — Appl. Phys., 1979, v. 19, N 13, p. 307—312.

Научно-исследовательский институт
прикладных физических проблем
им. А. Н. Севченко БГУ им. В. И. Ленина
Минск

Получено 26.01.1988
Принято к печати 16.05.1988

ФТП, том 22, вып. 11, 1988

О ПРОВОДИМОСТИ МАКРОСКОПИЧЕСКИ НЕОДНОРОДНЫХ ПОЛУПРОВОДНИКОВЫХ ПЛЕНОК ВБЛИЗИ ПОРОГА ПРОТЕКАНИЯ В НАКЛОННОМ МАГНИТНОМ ПОЛЕ

Снарский А. А.

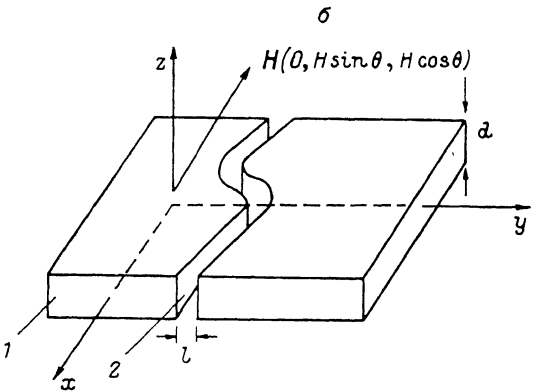
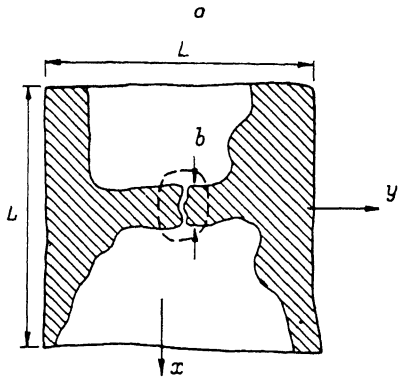
В последнее время появились методы, позволяющие во многих случаях изучить интегральные характеристики сильно неоднородных сред, в частности найти полевые и концентрационные зависимости тензора эффективной проводимости $\hat{\sigma}^e$ — точные решения на пороге протекания в двумерном случае [1—3] и поведение вблизи порога протекания [3—6]. Тензор $\hat{\sigma}^e$ двумерных систем $\{\hat{\sigma}(r) = \hat{\sigma}(x, y)\}$ в магнитном поле, нормальном к плоскости XOY , рассмотрен в [2, 3, 6].

Если магнитное поле направлено вдоль оси OZ (нормально), то толщина среды d при определении $\hat{\sigma}^e$ несущественна: продольные (по отношению к плоскости пленки) компоненты плотности тока $j_z (j_x, j_y)$ и поля $E_z (E_x, E_y)$ не

«взаимодействуют» с попечерчными j_x , E_x . Если же внешнее магнитное поле имеет не только z -, но, например, и y -компоненту, ситуация коренным образом меняется, и становится необходимым различать два случая: 1) двумерно-неоднородной среды $\hat{b}=\hat{b}(x, y)$, $d \rightarrow \infty$ [3], 2) двумерно-неоднородной пленки $\hat{b}=\hat{b}(x, y)$, d конечно. Необходимость такого различия ясна уже из рассмотрения однородной среды: в случае пленки условие на границах $j_z(z=0)=j_z(z=d)=0$ приведет к появлению холловского поля, которое (в наклонном магнитном поле $\sigma_{xy} \neq 0$, $\sigma_{xz} \neq 0$) скажется на величине j_y . В случае неоднородной пленки E_z , а следовательно, и E_{\parallel} , j_{\parallel} сложным образом зависят от координат [7, 8].

В случайно-неоднородных средах произвольной концентрации фаз встречается весь спектр размеров между хорошо проводящими включениями; поле E_z , а с ним и j_{\parallel} сложным образом зависят от z , и задача становится локально-

трехмерной, оставаясь при этом в усредненном описании двумерной. Решение такой задачи, занимающей промежуточное положение между двух- и трехмерными задачами, в общем случае затруднительно. Далее будет рассмотрен один из наиболее простых частных случаев при сильной неоднородности — поведение при $p < p_c$, где p — концентрация хорошо проводящей фазы, а p_c — порог протекания.



Простейшая модель прослойки.

a — характерный объем сильно неоднородной среды, L — корреляционная длина ($L = |\tau|^{-1/2}$), v — критический индекс), $\tau = p - p_c$, p — концентрация хорошо проводящей (металл) фазы — металлических кластеров (МК); МК запиркованы, p_c — порог протекания. При $p < p_c$ в отсутствие магнитного поля эффективная проводимость $\sigma \sim \tau^{1-q}$, σ — локальная проводимость плохо проводящей (полупроводник) фазы, q — критический индекс проводимости. Штрихами очертано место нахождения прослойки. Выбранное на рисунке расположение фрагментов МК, через которые протекает диссипативный ток, соответствует направлению среднего электрического поля вдоль OY . Если среднее поле направлено вдоль OX , то диссипативная часть тока «выберет» в среде участки, в которых фрагменты МК вблизи прослойки вытянуты вдоль OX . *b* — часть МК вблизи прослойки.

Распределение локальных напряженности электрического поля и плотности тока в сильно неоднородных средах вблизи порога протекания становится существенно неоднородным [9–11]. При $p < p_c$ протекание тока осуществляется по фрагментам металлического кластера (МК), сопротивлением которого будем пренебречь, и тонким прослойкам (плохо проводящей среды, например полупроводника) между соседними кластерами. В [12] предложена простейшая модель прослойки, которая дает правильное концентрационное поведение термогальваномагнитных эффективных коэффициентов [13]. В двумерном случае в перпендикулярном поверхности магнитном поле выводы [13] совпадают с результатами работы [14], в которой используется строгий метод изоморфизма [3].

Из рисунка видно, что есть два простых для вычисления случая. Первый из них — $d \gg l$. В этой ситуации поле E_z в прослойке существенно только вблизи $z=0$, $z=d$ и не вносит существенного вклада в процессы переноса, двумерная среда будет вести себя так же, как бесконечная по оси OZ . Второй случай — очень тонкая прослойка $d \ll l$. В этой ситуации холловское

поле E_z внесет существенный вклад в ток, текущий по прослойке. Вычисление $\hat{\sigma}$ в модели прослойки [12] сводится к расчету ее сопротивления как вдоль, так и поперек среднего поля.

В наклонном магнитном поле локальный тензор проводимости в «лабораторной» системе координат [на рисунке (x, y, z)] равен

$$\hat{\sigma}(\theta) = \begin{pmatrix} \sigma_s & \sigma_a \cos \theta & \sigma_a \sin \theta \\ -\sigma_a \cos \theta & \sigma_s \cos^2 \theta + \sigma_z \sin^2 \theta & (\sigma_s - \sigma_z) \cos \theta \sin \theta \\ -\sigma_a \sin \theta & (\sigma_s - \sigma_z) \cos \theta \sin \theta & \sigma_s \sin^2 \theta + \sigma_z \cos^2 \theta \end{pmatrix}, \quad (1)$$

в собственной системе координат (x', y', z') ($H \parallel OZ'$) этот тензор имеет стандартный вид

$$\hat{\sigma}(\theta) = \begin{pmatrix} \sigma_s & \sigma_a & 0 \\ -\sigma_a & \sigma_s & 0 \\ 0 & 0 & \sigma_z \end{pmatrix}, \quad (2)$$

Учтем теперь, что в двух предельных случаях ($d \gg l$ и $d \ll l$) можно с хорошей точностью считать, что в прослойке $E_z=0$ при $d \gg l$, а при $d \ll l$ $j_z=0$. Подробные расчеты распределения полей и токов при магнитном поле, параллельном XOY и плоскости контакта, и различных отношениях d/l приведены в [7, 8]. Запись локального закона Ома при этом для случая $d \gg l$ не изменяется, а в случае $d \ll l$ условие $E_z=0$ приводит к «перенормировке» проводимости

$$\begin{aligned} j_{x0} &= \sigma_{xx}E_x + \sigma_{xy}E_y, & j_{y0} &= \sigma_{yx}E_x + \sigma_{yy}E_y, \\ j_x &= \tilde{\sigma}_{xx}E_x + \tilde{\sigma}_{xy}E_y, & j_y &= \tilde{\sigma}_{yx}E_x + \tilde{\sigma}_{yy}E_y, \end{aligned} \quad (3)$$

где индекс 0 выделяет случай $d \gg l$, а $\tilde{\sigma}_{xx} = \sigma_{xx} - \sigma_{xz}\sigma_{xx}/\sigma_{zz}$, $\tilde{\sigma}_{xy} = -\tilde{\sigma}_{yx} = \sigma_{xy} - \sigma_{xz}\sigma_{xy}/\sigma_{zz}$, $\tilde{\sigma}_{yy} = \sigma_{yy} - \sigma_{yz}\sigma_{xy}/\sigma_{zz}$; σ_{ik} — компоненты тензора $\hat{\sigma}(\theta)$ (1). Отметим, что в отличие от случая нормального расположения магнитного поля в наклонном поле $\sigma_{xx} \neq \sigma_{yy}$ и $\tilde{\sigma}_{xx} \neq \tilde{\sigma}_{yy}$, что приводит к тому, что части прослойки, расположенные под разными углами к H -проекции магнитного поля на плоскость XOY (за счет «извилистости» прослойки), будут иметь разные проводимости. Отличие этих проводимостей друг от друга будет возрастать с ростом магнитного поля. Поскольку эти части прослойки соединены между собой для тока, проходящего из одного фрагмента МК в другой через прослойку параллельно, то при расчете контакта (суммарной проводимости) прослойки необходимо учитывать только наибольшую из них (σ_{xx} или σ_{yy} и соответственно $\tilde{\sigma}_{xx}$ или $\tilde{\sigma}_{yy}$); обозначим эту компоненту через σ_{max} (и соответственно $\tilde{\sigma}_{max}$).

Найдем теперь тензор эффективной проводимости. Рассмотрим вначале случай, когда $H \parallel \langle E \rangle$ и среднее электрическое поле направлено вдоль OY . Согласно модели [12], подавляющая часть диссипативного тока проходит через прослойку, разность потенциалов при этом на ней связана со средним полем соотношением $\langle E \rangle L \approx \Delta\phi$. Закон Ома на прослойке имеет вид $\Delta\phi = JR$, где $R = l/b\sigma_{max}d$ — полное сопротивление прослойки. Подставляя R в закон Ома, получаем

$$\frac{J}{Ld} = \sigma_{max} \frac{b}{l} \frac{\Delta\phi}{L}, \quad (4)$$

что с учетом выражения для средней плотности тока $\langle j \rangle = J/Ld$ и соотношения $b/l \sim |\tau|^{-q}$ (основного положения модели [12]) дает

$$\langle j \rangle_y = \sigma_{max} |\tau|^{-q} \langle E \rangle. \quad (5)$$

Таким образом, компонента тензора эффективной проводимости, связывающая, по определению, соответствующие компоненты средних полей и тока (напомним, что в выбранном случае среднее электрическое поле направлено вдоль OY и соответственно диссипативный ток в среднем течет также вдоль OY), будет равна

$$\sigma_{yy} \approx \sigma_{max} |\tau|^{-q}. \quad (6)$$

Тот же результат получится, если направить среднее электрическое поле вдоль OX ; таким образом,

$$\sigma_{x0}^e \approx \sigma_{\max} |\tau|^{-q}, \quad \sigma_a^e \approx \sigma_{\max} |\tau|^{-q}. \quad (7)$$

Прослойка не является препятствием для холловской компоненты тока (подробности см. в [12]), поэтому

$$\sigma_x^e \approx \sigma_a, \quad \sigma_a^e \approx \sigma_a. \quad (8)$$

Это утверждение, полученное из качественных соображений, имеет строгое обоснование. Согласно [3] [формулы (13) и (55)], для идеально проводящих включений недиагональные компоненты тензора эффективной проводимости не зависят от концентрации.

Рассмотрим теперь простейшие полевые зависимости локальных компонент тензора проводимости

$$\sigma_s = \frac{\sigma}{1 + \beta^2}, \quad \sigma_a = \frac{\sigma\beta}{1 + \beta^2}, \quad \sigma_x = \sigma, \quad (9)$$

где β — безразмерное магнитное поле.

В этом случае

$$\sigma_{\max} = \sigma \frac{1 + \beta^2 \sin^2 \theta}{1 + \beta^2}, \quad \sigma_{\max} = \frac{\sigma}{1 + \beta^2 \cos^2 \theta}, \quad (10)$$

и, следовательно, для случая $d \gg l$

$$\sigma_{x0}^e \approx \sigma \frac{1 + \beta^2 \sin^2 \theta}{1 + \beta^2} |\tau|^{-q}, \quad \sigma_{a0}^e \approx \frac{\sigma\beta}{1 + \beta^2} \cos \theta, \quad (11)$$

а для случая $d \ll l$

$$\sigma_x^e \approx \frac{\sigma}{1 + \beta^2 \cos^2 \theta} |\tau|^{-q}, \quad \sigma_a^e \approx \frac{\sigma\beta \cos \theta}{1 + \beta^2 \cos^2 \theta}. \quad (12)$$

Проанализируем полученные выражения (11), (12) эффективных кинетических компонент тензора проводимости. Отметим вначале, что выражения (11) получены для крайнего случая $d \gg l$, рассмотренного ранее в работе [3] строгими методами. Воспользовавшись общими выражениями в [3], можно найти σ_{x0}^e и σ_{a0}^e (для $\tau < 0$ их явные выражения в [3] не приведены). Как и должно быть, они совпадают с (11).

Сравнение (12) с (11) показывает, что два крайних случая ($d \gg l$ и $d \ll l$) имеют при $\theta \neq 0, \pi/2$ разные угловые и полевые зависимости. Рассмотрим в качестве примера отношение эффективных коэффициентов Холла ($HR^e = \sigma_a^e / [(\sigma_x^e)^2 + (\sigma_a^e)^2] R^e / R_0^e$ для почти «вертикального» поля $\theta \ll 1$ и почти «горизонтального» ($\theta - \pi/2 \ll 1$). В первом случае для сильных полей $1 \ll \beta \ll |\tau|^{-q}$, $\beta \theta \gg 1$

$$R^e / R_0 \sim (\beta\theta)^4, \quad (13)$$

во втором — для $1 \ll \beta \ll |\tau|^{-q}$ и $\beta(\theta - \pi/2) \gg 1$

$$R^e / R_0 \sim \beta^2 (\theta - \pi/2)^2, \quad (14)$$

и, следовательно, эффективный коэффициент Холла в случае тонкой пленки имеет нестандартные по сравнению со случаем толстой пленки полевую и угловую зависимости.

Таким образом, выявлен классический (не связанный с квантовыми явлениями) размерный эффект. Заметим, что, хотя компоненты эффективного тензора проводимости непрерывно зависят от толщины пленки d , простейшая модель прослойки позволяет найти δ^e только в двух крайних случаях — очень тонкой ($d \ll l$) и очень толстой ($d \gg l$) пленок.

Можно показать, что зависимость эффективных кинетических коэффициентов в наклонном магнитном поле от толщины пленки возможна не только при $p < p_c$, но и с другой стороны порога протекания, т. е. при $p > p_c$.

Выражаю глубокую признательность А. М. Дыхне, Б. Я. Балагурову, И. М. Томчуку и А. Я. Шику за обсуждение работы.

Л и т е р а т у р а

- [1] Дыхне А. М. — ЖЭТФ, 1970, т. 59, в. 7, с. 110—115.
- [2] Дыхне А. М. — ЖЭТФ, 1970, т. 59, в. 2, с. 641—647.
- [3] Балагуров Б. Я. — ЖЭТФ, 1983, т. 85, в. 2, с. 580—584.
- [4] Efros A. L., Shklovskii B. I. — Phys. St. Sol. (b), 1976, v. 76, N 2, p. 475—485.
- [5] Шкловский Б. И., Эфрос А. Л. Электронные свойства легированных полупроводников. М., 1979. 416 с.
- [6] Шкловский Б. И. — ЖЭТФ, 1977, т. 72, в. 1, с. 288—295.
- [7] Bate R. T., Bell J. C., Beer A. C. — J. Appl. Phys., 1961, v. 32, N 5, p. 806—814.
- [8] Lippman H. J., Kuhrt F. — Z. Naturforsch., 1958, v. 13a, N 6, p. 462—474.
- [9] Скал А. С. — ЖЭТФ, 1981, т. 51, в. 11, с. 2443—2445.
- [10] Fogelholm R., Grimvall G. — J. Phys. C, 1983, v. 16, N 3, p. 1077—1084.
- [11] Söderberg M., Grimvall G. — J. Phys. C, 1983, v. 16, N 3, p. 1085—1088.
- [12] Снарский А. А. — ЖЭТФ, 1986, т. 91, в. 4, с. 1405—1410.
- [13] Снарский А. А. — ФТП, 1987, т. 21, в. 10, с. 1877—1881.
- [14] Балагуров Б. Я. — ФТТ, 1986, т. 28, в. 7, с. 2068—2074.

Киевский политехнический
институт им. 50-летия
Великой Октябрьской социалистической
революции

Получено 8.02.1988
Принято к печати 10.05.1988

ФТП, том 22, вып. 11, 1988

ЭФФЕКТ УВЛЕЧЕНИЯ ПРИ ТРЕХФОТОННОМ ПОГЛОЩЕНИИ СВЕТА В КРИСТАЛЛАХ ТИПА ГЕРМАНИЯ

Расулов Р. Я.

Новый тип нелинейного поглощения света в полупроводниках, связанного с совокупностью одновременно идущих n -фотонных оптических переходов, был недавно обнаружен в p -Ge с использованием мощного импульсного лазера на NH_3 с оптической накачкой ($\lambda = 90.55 \text{ мкм}$, $\hbar\omega = 13.7 \text{ мэВ}$) [1].

В [2] построена теория многофотонного поглощения в полупроводниках с вырожденной валентной зоной (типа зоны Γ_8^+ в Ge или зоны Γ_8 в GaAs) при произвольной интенсивности возбуждающего света. Одновременно было проведено вычисление по теории возмущений тока увлечений фотонами при одно- и двухквантовых прямых оптических переходах носителей между подзонами тяжелых и легких дырок в зоне Γ_8^+ или Γ_8 . При этом было показано, что из-за различия знака одно- и двухквантового вкладов фототок увлечения меняет знак с ростом интенсивности в соответствии с экспериментальными данными [2, 3].

Представляет интерес проанализировать влияние процессов поглощения более высокого порядка на точку инверсии, т. е. на значение интенсивности света, при котором наблюдается инверсия знака тока увлечения.

В связи с этим рассмотрим эффект увлечения в кристаллах типа германия или арсенида галлия, возникающий при трехфотонном поглощении света и обусловленный увлечением свободных носителей фотонами (трехфотонный эффект увлечения, или ТЭУ).

Плотность тока ТЭУ в приближении времени релаксации определяется соотношением

$$j = -e \sum_{\substack{k, m' = \pm s/2 \\ m = \pm l/2}} [v_{1k} \tau_{1k} W_{1m'k; 2m, k-3q} - v_{2k} \tau_{2k} W_{1m', k+3q; 2mk}], \quad (1)$$